



UNIVERSIDADE
DE SÃO PAULO
Instituto de Física de São Carlos



Análise exponencial através do Método da Diagonalização Filtrada

Moraes, T.B., Montrazi, E.T., Colnago, L.A.,
Bonagamba, T.J., Magon, C.J.

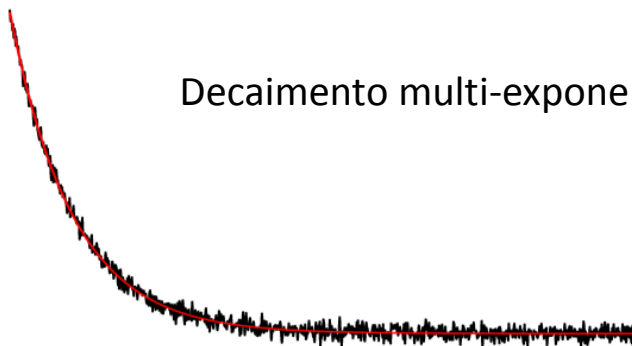
Introdução

RMN: Baixa resolução & Alta resolução

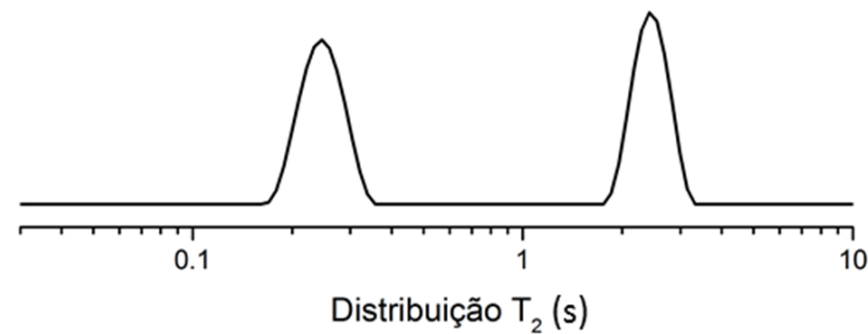
- Relaxometria
- Difusão (DOSY, PGSE, ...)
- Meios porosos / alimentos



Decaimento multi-exponencial



Transformada Inversa de Laplace

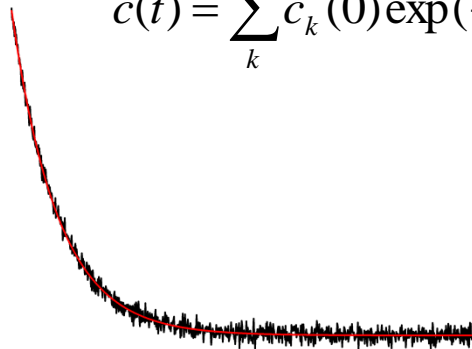


Transforma Inversa de Laplace

Transformada Inversa de Laplace

Soma decaimentos exponenciais

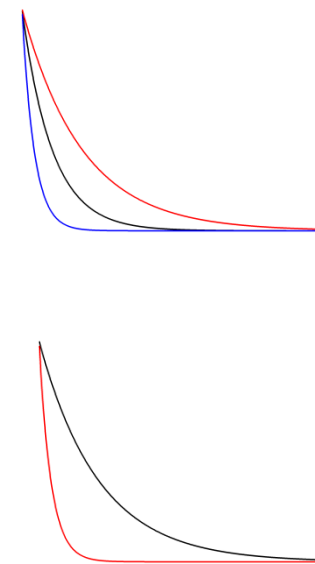
$$c(t) = \sum_k c_k(0) \exp(-t/T_{2k})$$



Fitting ótimo



➤ Problema inverso ‘mal-posto’



?

✓ Sensível ao ruído

➤ Regularização (α)

Lanczos, Applied Analysis, Prentice-Hall, 1959 p. 272

Y.Q. Song, L. Venkataraman, L. Burcaw; *Determining the resolution of Laplace inversion spectrum*, J. Chem. Phys., 2005, 122, 104104.

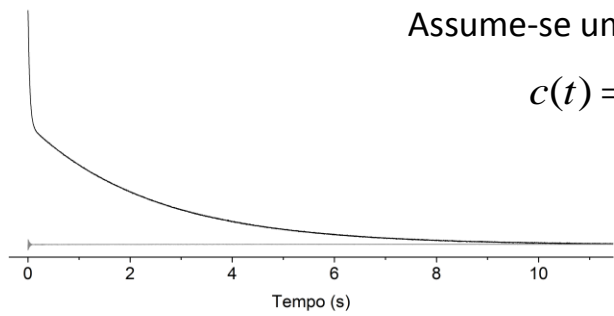
Transformada Inversa de Laplace

- Provencher, S.W.; CONTIN: A general purpose constrained regularization program for inverting noisy linear algebraic and integral equations, **Comput. Phys. Commun.**, 27, 229, 1982. **CONTIN**
Reg. Tikhonov
- J.P. Butler, J.A. Reeds and S.V. Dawson, Estimating solutions of the first kind integral equations with nonnegative constraints and optimal smoothing, **SIAM J. Numer. Anal.**, 18, 381, 1981. **Butler, Reeds e Dawson (BRD)**
- G.C. Borgia, R.J.S. Brown, P. Fantazzini; *Uniform-Penalty Inversion of Multiexponential Decay Data*, **Journal Mag. Res.**, 65, 132, 1998. **non-negative least-squares (NNLS)**
WinDXP ILT software, Maran, Oxford Instruments
- Venkataramanan, L. ; Yi-Qiao Song ; Hurlimann, Martin D.; Solving Fredholm integrals of the first kind with tensor product structure in 2 and 2.5 dimensions, **IEEE**, 50, 5, 2002. **Schlumberger-Doll Research center**
- Maojin T., Peng W., Keyu M., Comparative study of inversion methods of three-dimensional NMR and sensitivity to fluids, **Journal of Applied Geophysics**, 103, 12, 2014
- Mathias Nilsson, The DOSY Toolbox: A new tool for processing PFG NMR diffusion data **Journal Mag. Res.**, 200, 296, 2009. **High resolution**

Transformada Inversa de Laplace

Assume-se uma distribuição continua de T_2

$$c(t) = \int g(T_2) \exp(-t/T_2) dT_2$$

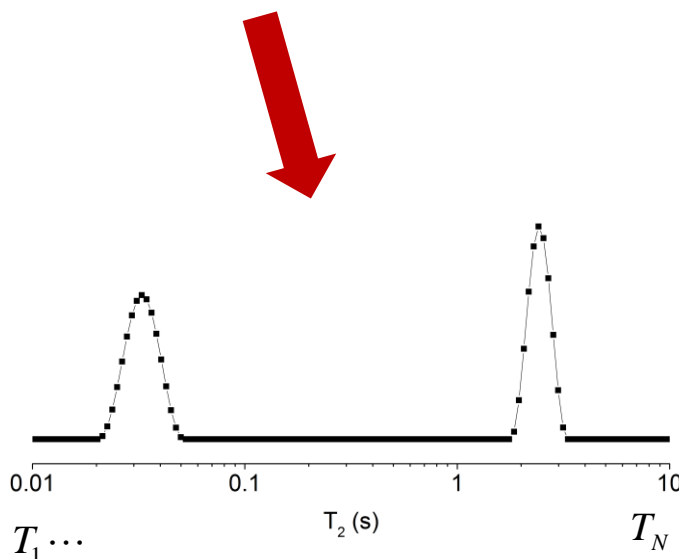


Somatória com *Kernel K*

G.C. Borgia, R.J.S. Brown, P. Fantazzini; *Uniform-Penalty Inversion of Multiexponential Decay Data*, JMR, 65, 132, 1998.

(NNLS – ILT)

$t_1 \dots$ M pontos t_M



Definir Grade: N pontos

$$c(t_n) = \sum_{j=1}^N g(T_{2j}) K(t_n, T_{2j}) + \varepsilon_n$$

Minimização dos erros quadráticos

$$\chi^2 = \|c(t) - F(t)\|^2$$

$$K = \begin{pmatrix} e^{-t_1/T_1} & e^{-t_1/T_2} & \dots & e^{-t_1/T_N} \\ e^{-t_2/T_1} & e^{-t_2/T_2} & & e^{-t_2/T_N} \\ \vdots & & \ddots & \vdots \\ e^{-t_M/T_1} & e^{-t_M/T_2} & \dots & e^{-t_M/T_N} \end{pmatrix}$$

Regularização Tikhonov (α) suaviza solução

interações para obter distribuição continua e não negativa

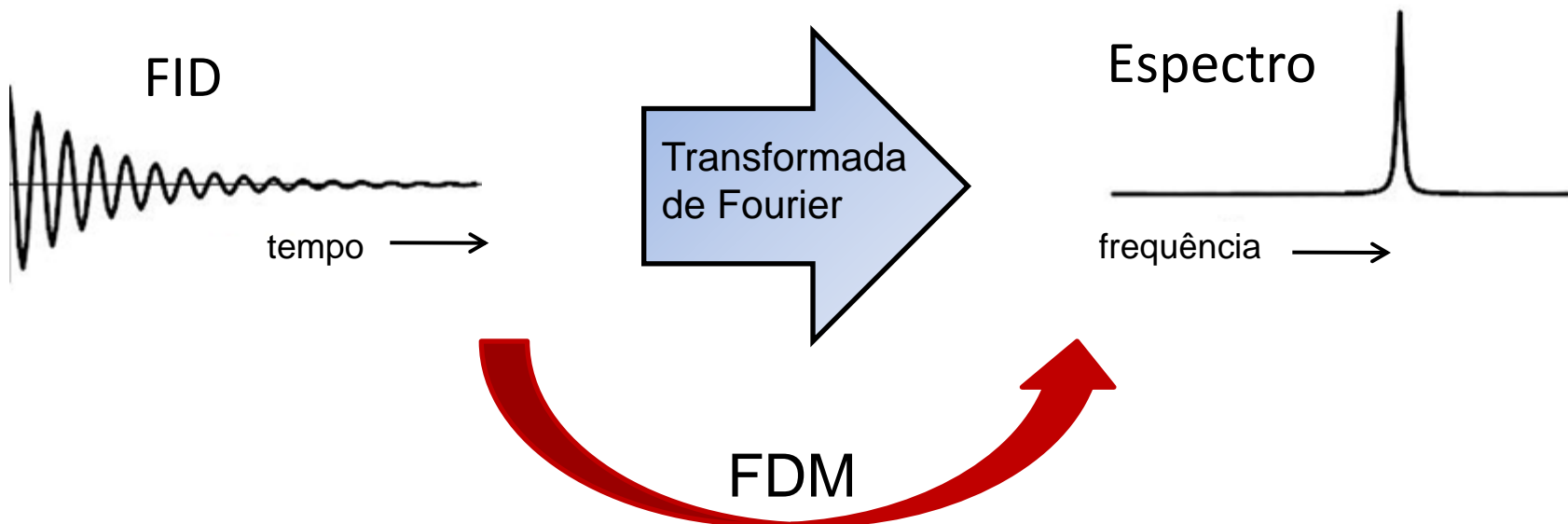
➤ Pacote Matlab

FDM

Método da Diagonalização Filtrada (FDM)

Moraes, T.B.; **O Método da Diagonalização Filtrada e suas aplicações para a Ressonância Magnética**, dissertação mestrado IFSC - USP, 2011.

Prof. Dr. Cláudio José Magon

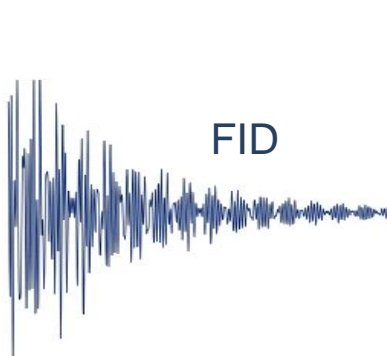


- Truncado, tempo morto, deconvolução, componente eco, experimentos 2D

Método da Diagonalização Filtrada (FDM)

Moraes, T.B.; **O Método da Diagonalização Filtrada e suas aplicações para a Ressonância Magnética**, dissertação mestrado IFSC - USP, 2011.

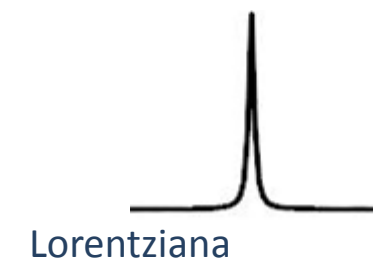
Prof. Dr. Cláudio José Magon



$$c(t) = \sum_{k=0}^{K-1} |d_k| e^{i\theta_k} e^{-\gamma_k t} e^{i2\pi f_k t}$$

The diagram illustrates the decomposition of the FID signal into its constituent components. Arrows point from the equation to various parameters:

- nº picos (Number of peaks)
- largura linha (Line width)
- Frequência (Frequency)
- fase (Phase)
- área (Area)

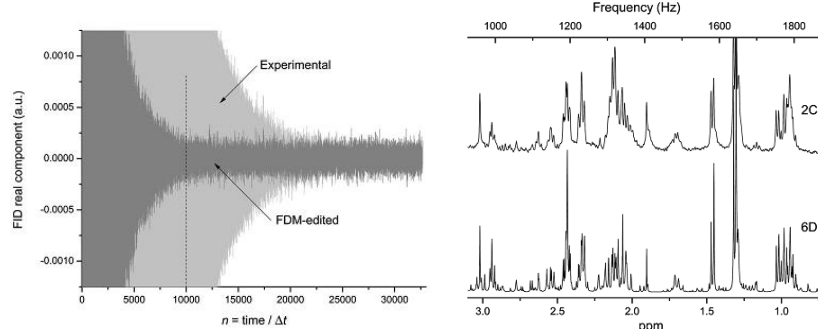


Objetivo: determinar a lista de parâmetros: $\{d_k, \Omega_k\}$

Álgebra linear: Equação de autovalores generalizada

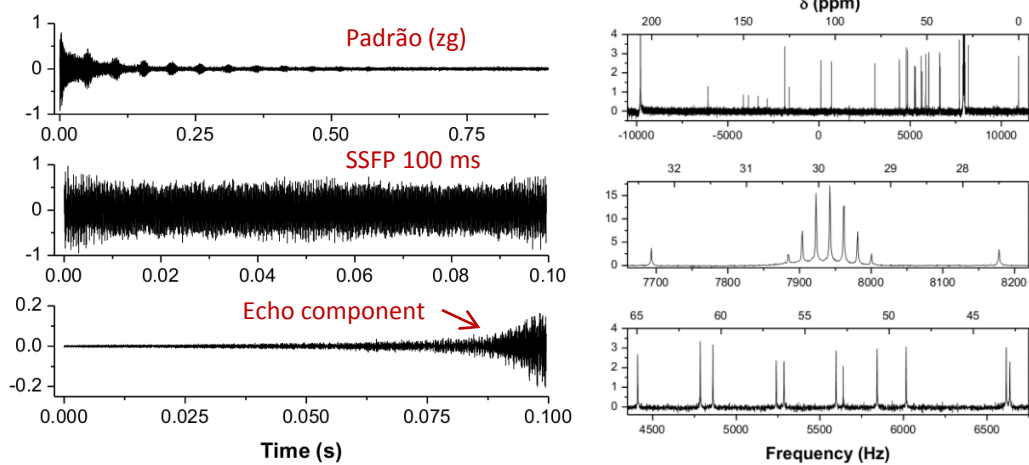
$$U^{(1)} B_k = \mu_k U^{(0)} B_k$$

FDM



Maria, R.M., Moraes, T.B., et. al. *Processing of high resolution magic angle spinning spectra of breast cancer cells by the filter diagonalization method*, **Analyst**, 137, 4546, 2012.

Moraes, T.B., Santos, P.M., Magon, C.J., Colnago, L.A., *Supression of Spectral Anomalies in SSFP-NMR signal by the Krylov Basis Diagonalization Method*, **Journal Magnetic Resonace**, 243c, 74-80, (2014).



δ (ppm)

-10000 0 5000 10000

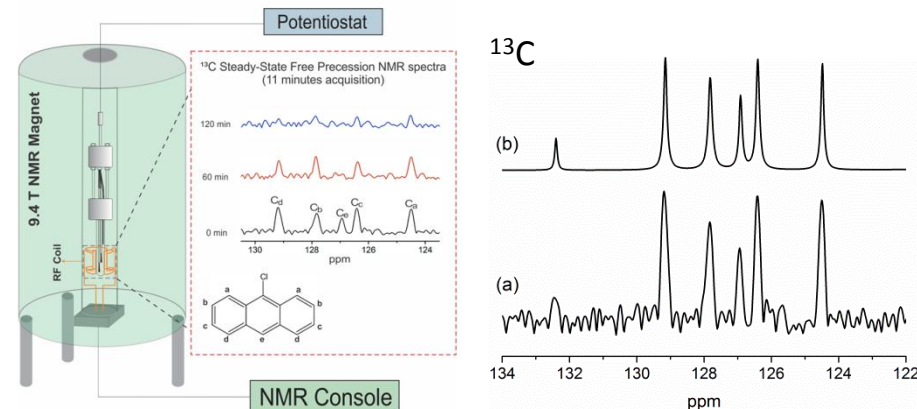
32 31 30 29 28

7700 7900 8100 8200

4500 5000 5500 6000 6500

65 60 55 50 45

Frequency (Hz)



Nunes, L., Moraes, T.B., Barbosa, L., Mazo, L., Colnago, L.A., *Monitoring electrochemical reactions in situ using steady-state free precession ^{13}C nuclear magnetic resonance spectroscopy*, **Analytica Chimica Acta**, 840c, 2014.

Objetivos

Objetivos

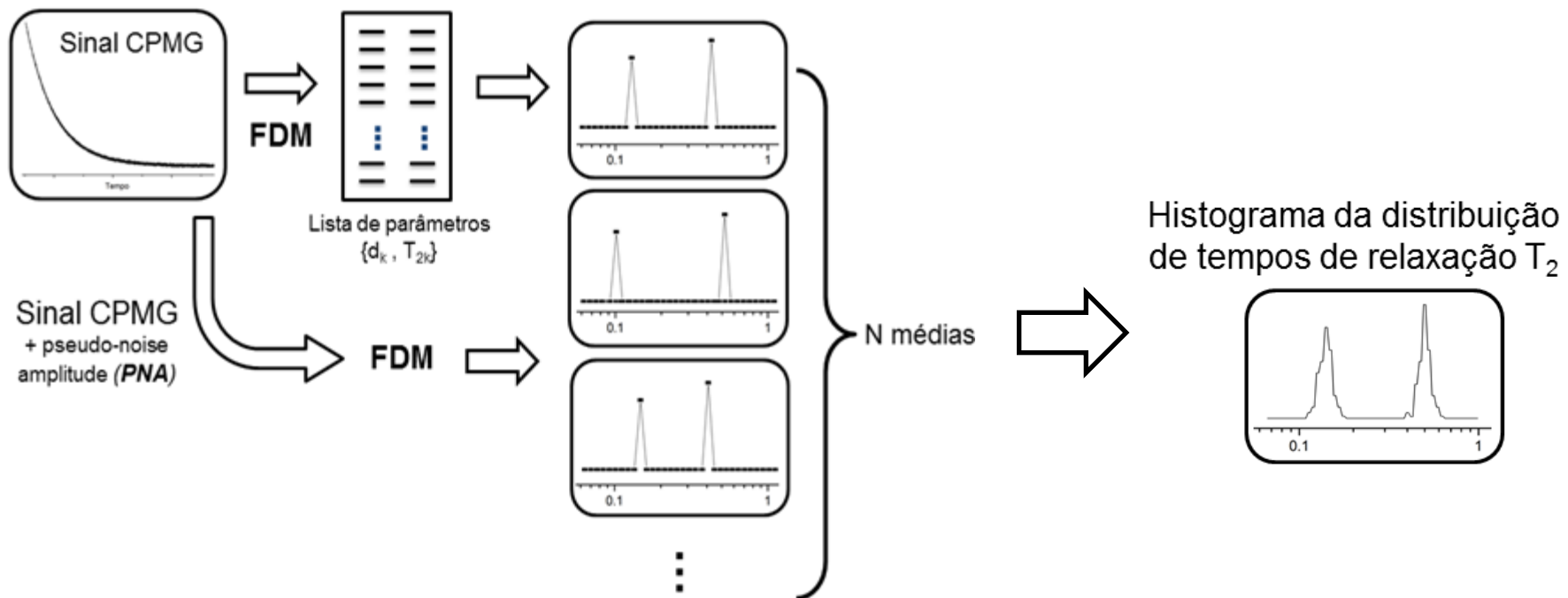
- ❑ Desenvolver uma versão do FDM para análise da distribuição de tempos de relaxação (CPMG);
- ❑ Avaliar o algoritmo através de sinais experimentais;
- ❑ Comparar com métodos estabelecidos de Transformada Inversa de Laplace.

FDM Distribuição T_2

❑ FDM / KBDM

Moraes, T.B., Montrazi, E.T., Colnago, L.A., Bonagamba, T.J., Magon, C.J.
Exponential analysis by Filter Diagonalization Method

➤ FDM regularização *pseudo-noise averaging*



➤ Implementação Matlab / Origin

Resultados

Resultados

Medidas realizadas em:

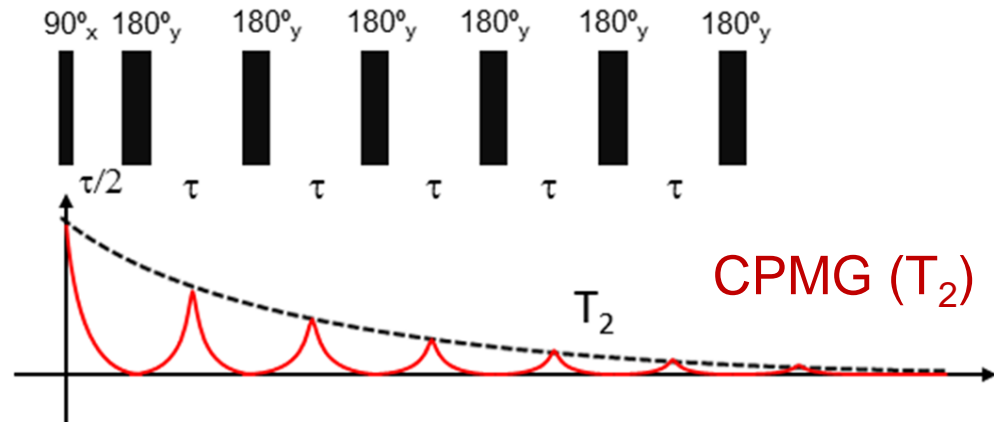
0,047 T	2 MHz
0,47 T	20 MHz
0,26 T	11 MHz

TecMag LapNMR
Spin Lock SLK-200

Soluções aquosas de CuSO₄
 $\tau = 500 \mu\text{s}$ / Cyclops

Cerâmicas / Rock cores
 $\tau = 200 \text{ ms}$ / 2, 8, 32 e 128 scans

Óleo Lubrificante / Sementes
 $\tau = 200 \mu\text{s}$ / Cyclops



NNLS - ILT

FDM

Resultados

Cerâmica alumina caracterizada por porosimetria de intrusão de mercúrio (MIP) e microtomografia de raio-X (μ CT). (E.T. Montrazi)

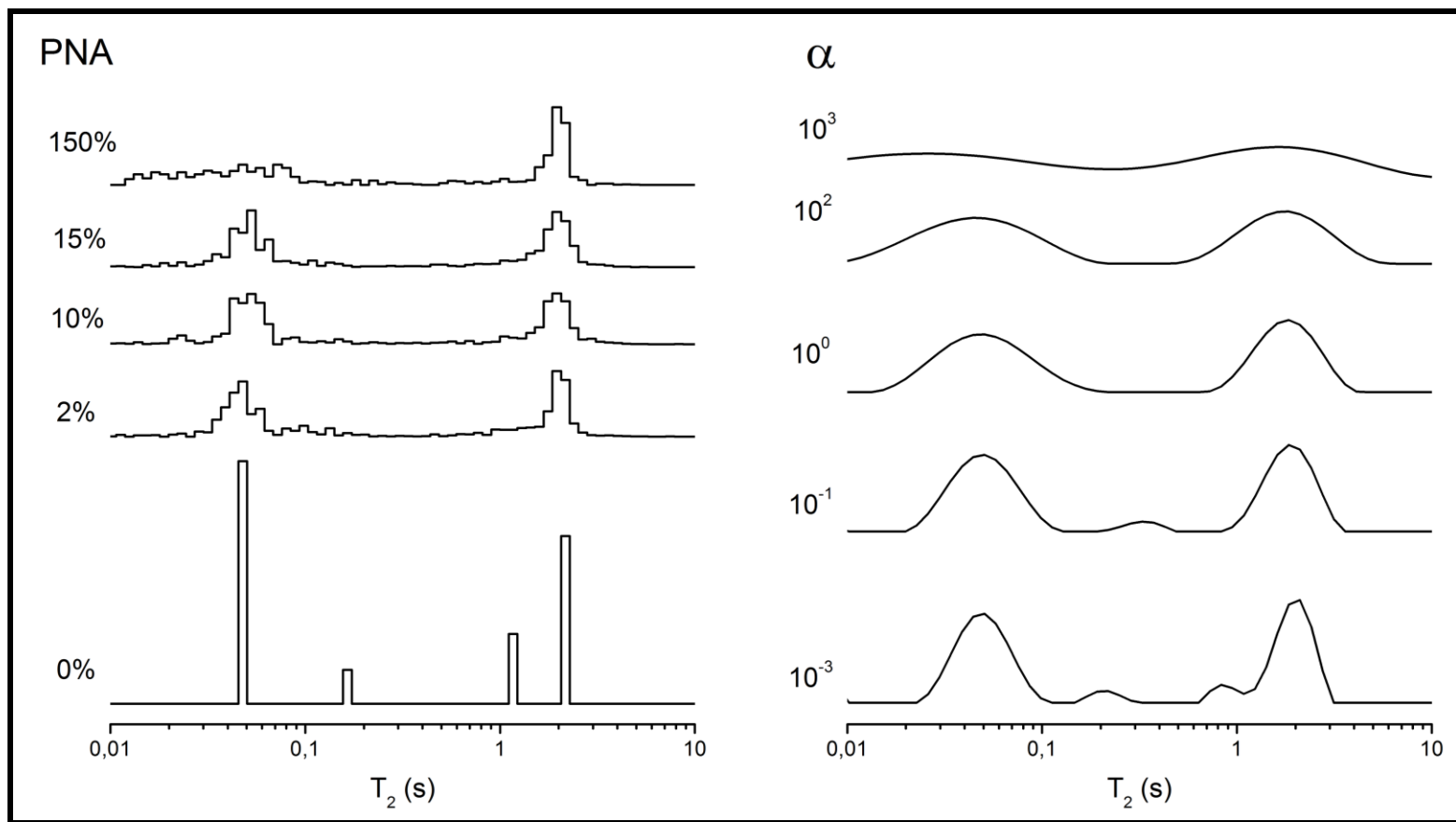
TecMag LapNMR 20 MHz

$\tau = 200 \mu\text{s} / 2, 8, 32 \text{ e } 128 \text{ scans.}$

Parâmetro regularização

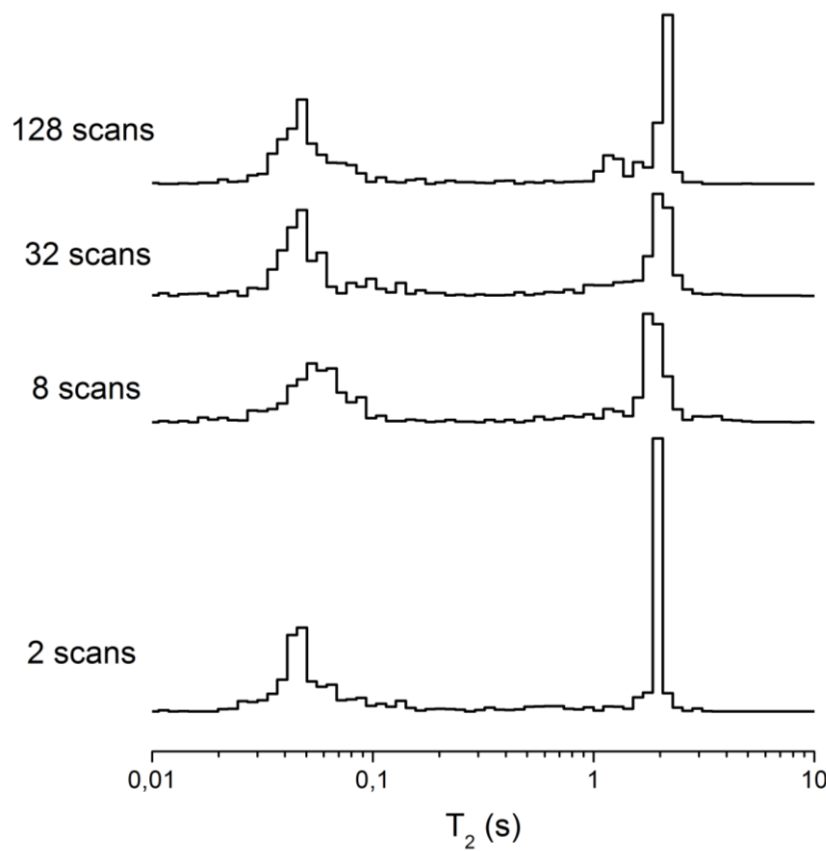
FDM

ILT

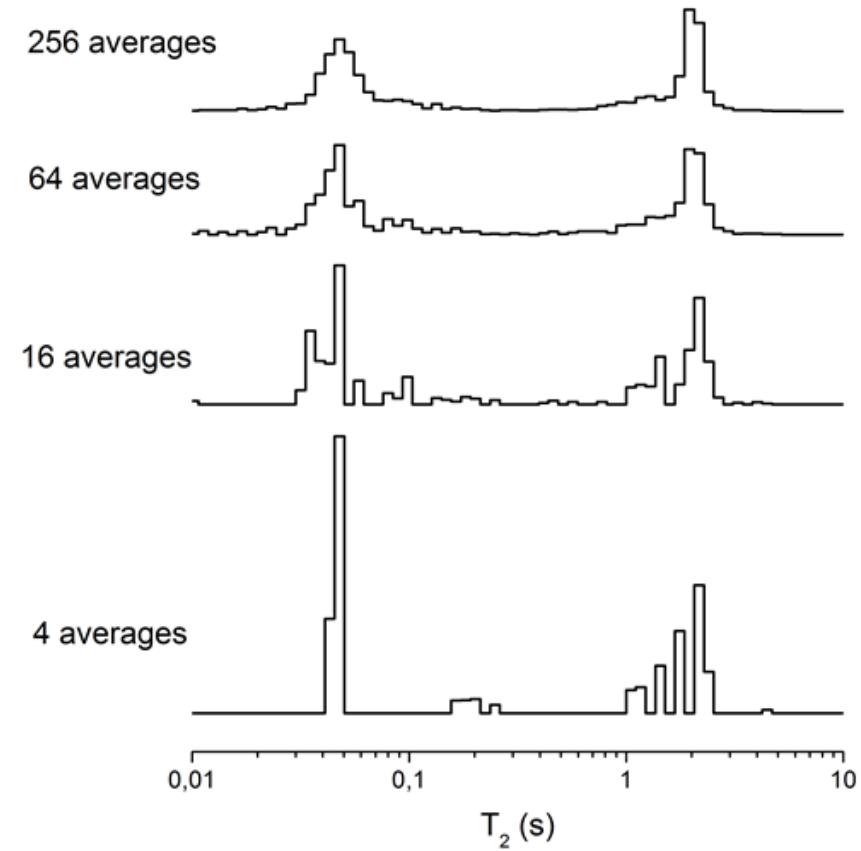


Resultados

CPMG scans

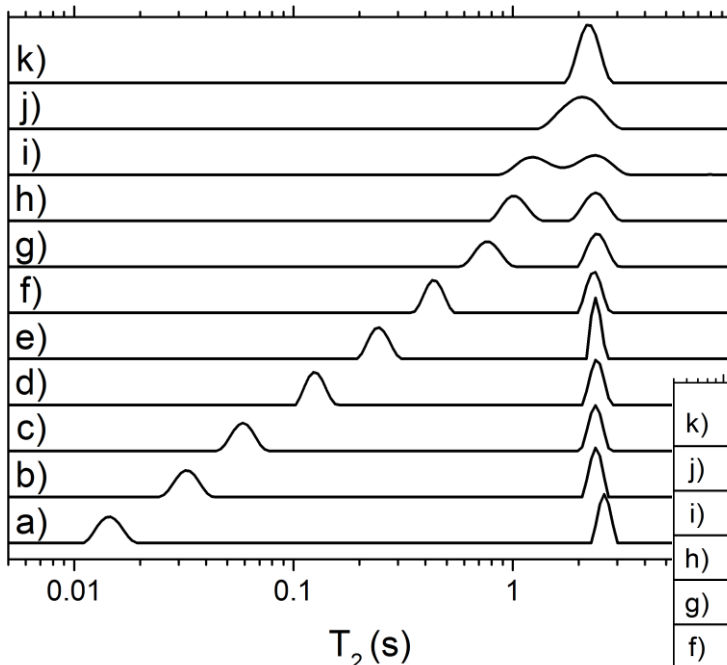


FDM interações

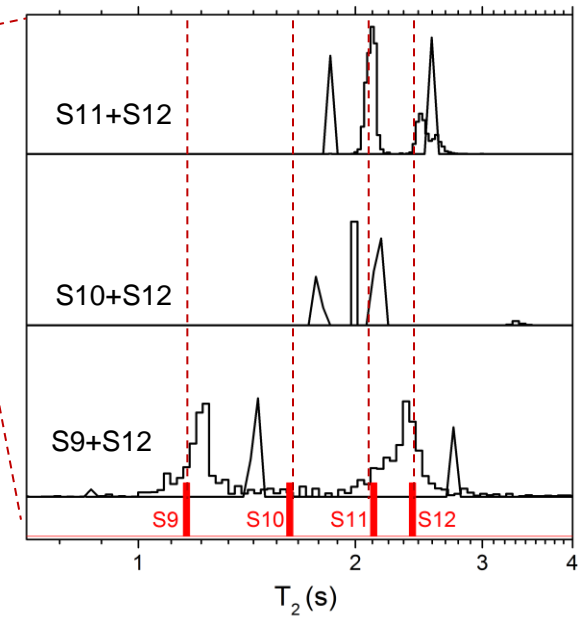
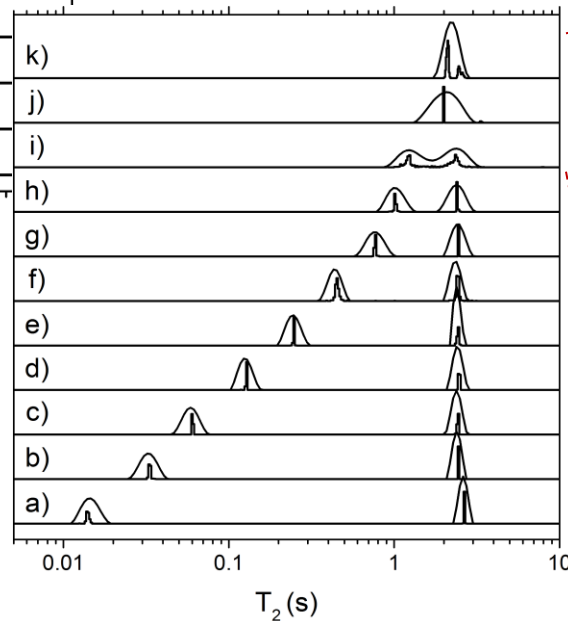


Resultados

Soluções aquosas com diferentes concentrações de CuSO_4



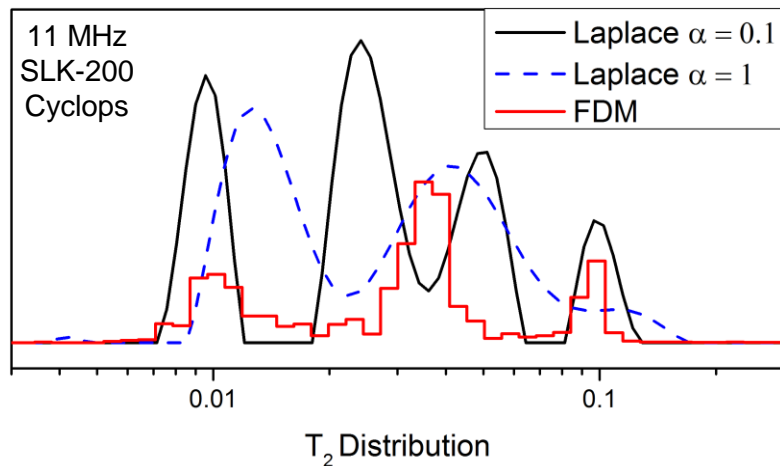
SpinLock SLK-200
11 MHz
 $\tau = 500 \mu\text{s} / \text{Cyclops}$



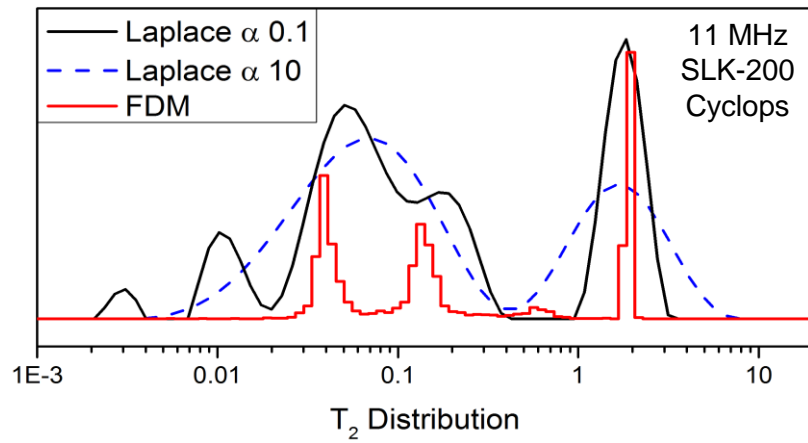
Fitting mono-exponential

Resultados

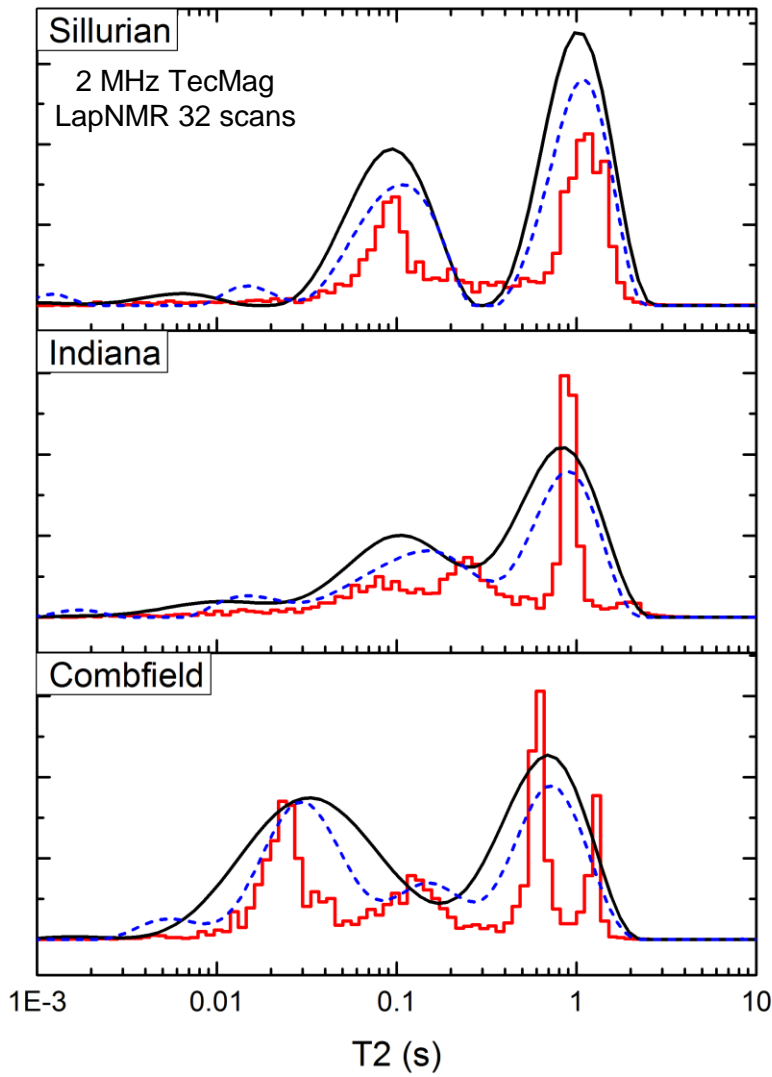
Óleo lubrificante



Amendoim + água



Rock cores



Conclusões

FDM vs ILT

- ❑ Método robusto e confiável;
- ❑ Distribuições T_2 compatível com NNLS-ILT;
 - ✓ Soluções aquosa com CuSO_4 ;
 - ✓ Sementes, óleos;
 - ✓ Cerâmicas e rochas porosas *Sillurian, Indiana e Combfield.*
- ❑ Uma nova ferramenta para análise de decaimentos multi-exponenciais;

Próximas atividades

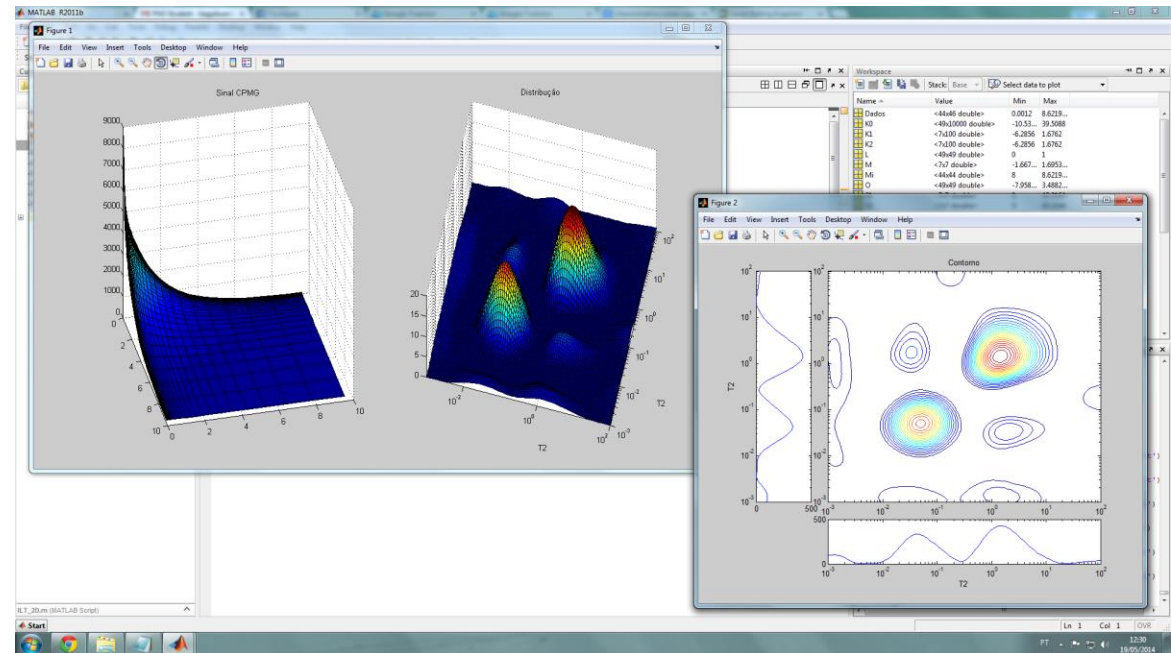
FDM

- ❑ Artigo em fase final de escrita;

FDM - 2D Laplace

- ❑ FDM-2D para Inversão de Laplace experimentos bi-dimensionais;

- Relaxometria D-T1, T1-T2, T2-T2
- Alta Resolução (DOSY)



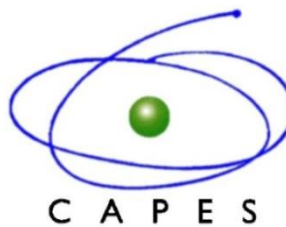
Agradecimentos

Moraes, T.B., Montrazi, E.T., Colnago, L.A., Bonagamba, T.J., Magon, C.J.

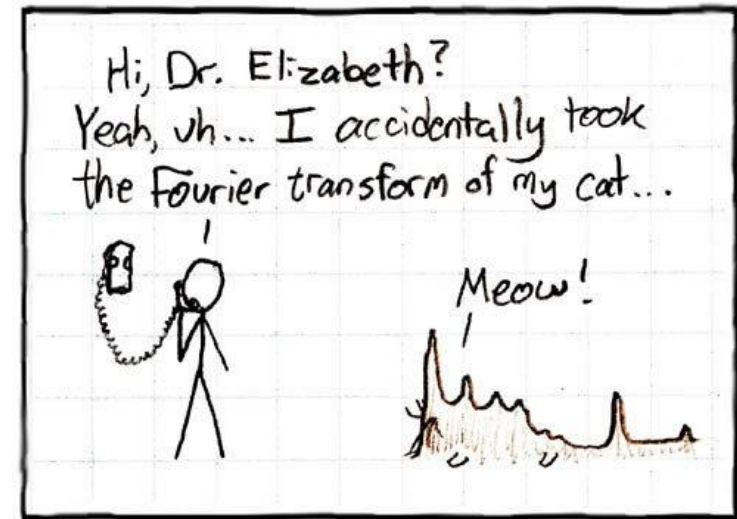
Exponential analysis by Filter Diagonalization Method

Prof. Dr. Luiz Alberto Colnago
Prof. Dr. Tito José Bonagamba
Prof. Dr. Cláudio José Magon

Proc. 2011/111-60



UNIVERSIDADE
DE SÃO PAULO
Instituto de Física de São Carlos



XIII JORNADA BRASILEIRA DE
RESSONÂNCIA MAGNÉTICA
MINI CURSOS EM RMN



04 a 08 de Agosto de 2014 • Pirenópolis, Goiás - Brasil